

## Лекция 2:

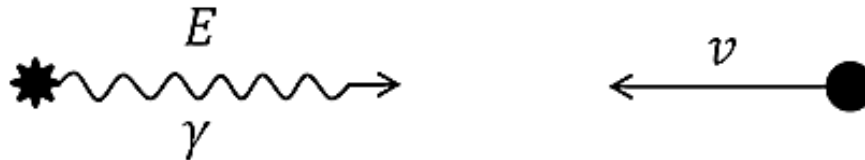
Роль эффекта Доплера в ЯРФ.

Связь радиационной ширины уровня  
с волновыми функциями  
начального и конечного состояний ядра.

## Роль эффекта Доплера в ЯРФ

Ядерная гамма-линия в действительности может быть много шире, чем следует из её брейт-вигнеровской формы из-за эффекта Доплера. Если ядро в покое испускает  $\gamma$ -квант с энергией  $E$ , то другое ядро, двигаясь в направлении  $\gamma$ -источника со скоростью  $v$ , встретит  $\gamma$ -квант с энергией

$$E' = E \left(1 + \frac{v}{c}\right) \frac{1}{\sqrt{1 - \left(\frac{v}{c}\right)^2}} \approx E \left(1 + \frac{v}{c}\right). \quad (1)$$



Аналогично,  $\gamma$ -источник, двигаясь со скоростью  $v$  в направлении неподвижного ядра, испускает по отношению к этому ядру не  $\gamma$ -квант с энергией  $E$ , а  $\gamma$ -квант с энергией  $E'$ .

Если скорости ядер поглотителя имеют максвелловское распределение, то вероятность у ядра иметь компоненту  $v$  в направлении источника даётся соотношением

$$w(v)dv = \sqrt{\frac{M}{2\pi kT}} e^{-\frac{Mv^2}{2kT}} dv, \quad (2)$$

где  $M$  – масса ядра,  $k = 8,6 \cdot 10^{-11}$  МэВ/Кельвин – постоянная Больцмана, а  $T$  – абсолютная температура поглотителя.

Комбинируя (1) и (2), получаем для распределения эффективных («наблюдаемых» поглотителем) энергий  $E'$ :

$$w(E')dE' = \frac{1}{\Delta\sqrt{\pi}} e^{-\left(\frac{E'-E}{\Delta}\right)^2} dE',$$

где  $\Delta = \frac{E}{c} \sqrt{\frac{2kT}{M}}$  — так называемая «доплеровская ширина».

Оценим масштаб  $\Delta$  при комнатной температуре  $T \approx 300^\circ\text{K}$ . Возьмём ядро  ${}^{57}_{26}\text{Fe}$  ( $A = 57$ ) и фотоны, испускаемые при переходе ядра  ${}^{57}_{26}\text{Fe}$  из 1-го и 2-го возбуждённых состояний в основное и фотоны с энергиями  $\approx 1$  и 10 МэВ, испускаемые этим же ядром. Для фотонов с  $E = 1$  МэВ имеем:

$$\Delta = \frac{E}{c} \sqrt{\frac{2kT}{M}} \approx 1 \text{ МэВ} \sqrt{\frac{2 \cdot 8,6 \cdot 10^{-11} \text{ МэВ/К} \cdot 300 \text{ К}}{57 \cdot 939 \text{ МэВ}}} \approx 1 \text{ эВ}.$$

Проделав аналогичные вычисления для других вышеперечисленных энергий фотонов, испускаемых ядром  ${}^{57}_{26}\text{Fe}$ , составим следующую таблицу 1:

Значения  $E$  и  $\Delta$  для фотонов ядра  ${}_{26}^{57}\text{Fe}$ , находящегося при комнатной температуре

$E$	0,014 МэВ	0,136 МэВ	1 МэВ	10 МэВ
$\Delta$	0,014 эВ	0,14 эВ	1 эВ	10 эВ

Таблица 1

Видно, что с большой точностью для ядра  ${}_{26}^{57}\text{Fe}$  справедлива связь  $\Delta \approx 10^{-6}E$ .

Если увеличить массовое число  $A$  до 200 (ядра в районе Pb), то доплеровская ширина при комнатной температуре уменьшится примерно в 2 раза по сравнению с данными таблицы 1.

Для подавляющего большинства  $\gamma$ -переходов среднее время жизни  $\tau > 10^{-14}$  сек и ширины  $\Gamma$ , рассчитываемые из соотношения  $\Gamma = \frac{\hbar}{\tau}$ , будут меньше 0,1 эВ:

$$\Gamma \text{ (для } \tau = 10^{-14} \text{ сек)} \approx 0,07 \text{ эВ,}$$

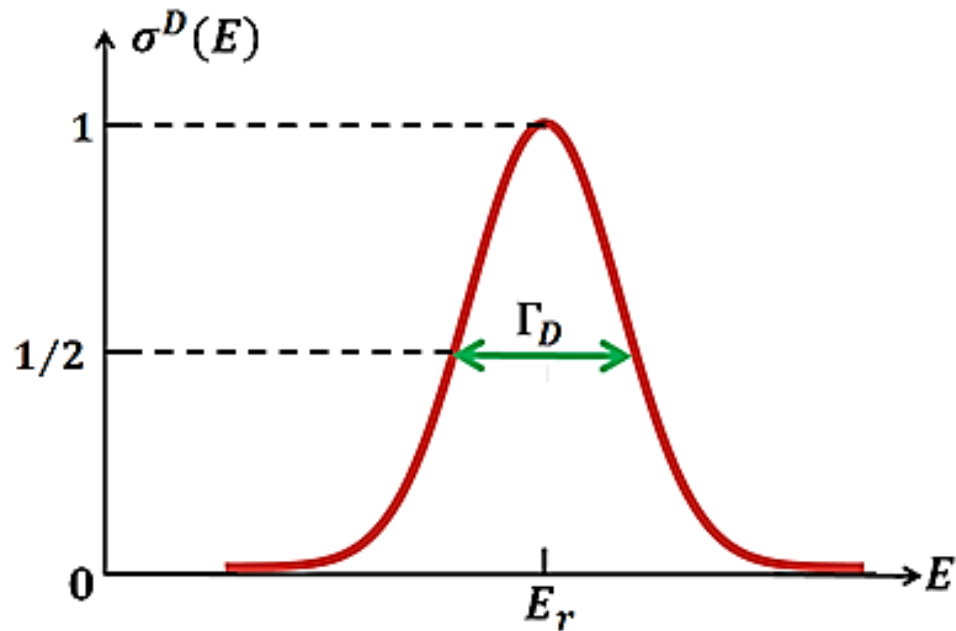
$$\Gamma \text{ (для } \tau = 10^{-9} \text{ сек)} \approx 0,7 \cdot 10^{-6} \text{ эВ.}$$

Т. е. для большинства  $\gamma$ -переходов  $\Delta \gg \Gamma$  и эффективное сечение рассеяния (поглощения) фотонов имеет «доплеровскую» форму:

$$\sigma^D(E) = \sigma^m(E_r) \frac{\Gamma \sqrt{\pi}}{2\Delta} e^{-\left(\frac{E-E_r}{\Delta}\right)^2},$$

т. е. имеет гауссову зависимость от энергии с доплеровской шириной  $\Delta$ .

В этом соотношении  $\sigma^m(E_r)$  — максимальное значение брейт-вигнеровских сечений, т. е. этих сечений при  $E = E_r$ .

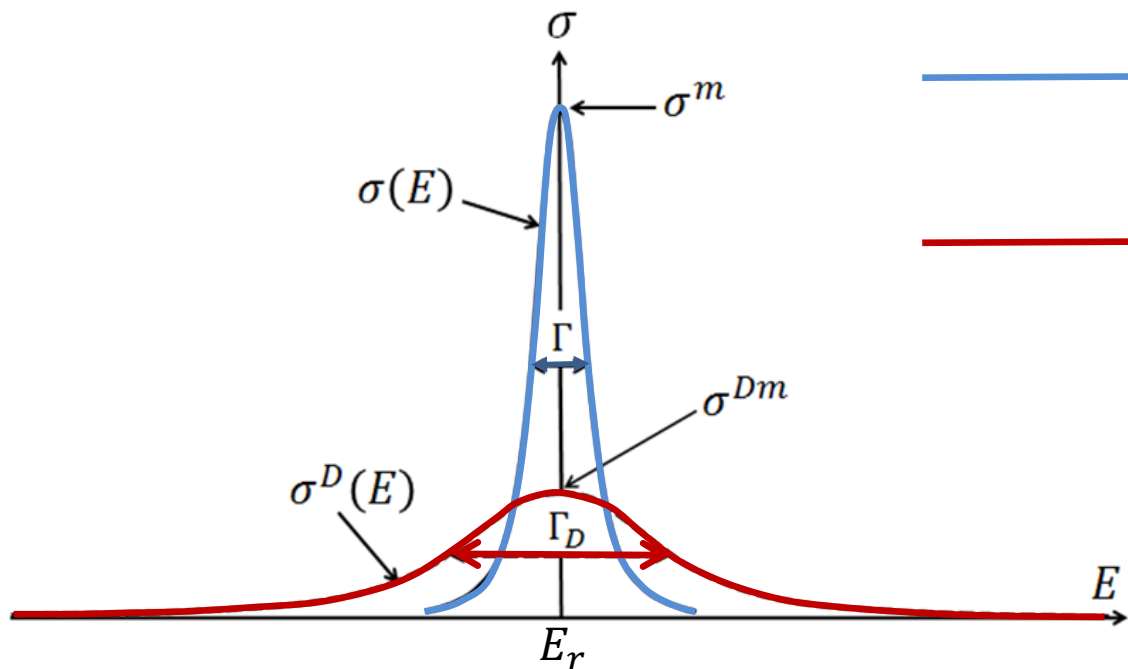


### Гауссова зависимость эффективного сечения

Гауссова зависимость сечения в отличие от брейт-вигнеровской при одинаковой ширине  $\Gamma$  характеризуется более медленным спадом вблизи максимума и более резким спадом вдали от максимума (большей прижатостью крыльев кривой сечения к горизонтальной оси энергий).

Очевидно, что интегральное сечение, отвечающее  $\gamma$ -линии, не зависит от доплеровского уширения и даётся выражением:

$$\int_{\text{резонансу}}^{\text{по}} \sigma^D(E) dE = \int_{\text{резонансу}}^{\text{по}} \sigma(E) dE = (\pi\lambda)^2 2g\Gamma_0.$$



Брейт-вигнеровское сечение  $\sigma(E)$  (холодное вещество,  $T = 0$ )  
 Доплеровски уширенное сечение  $\sigma^D(E)$  (нагретое вещество,  $T \neq 0$ )

Максимальная величина доплеровски уширенного сечения определяется равенством  $\sigma^{Dm} = \sigma^D(E_r)$ .

Эта величина и максимальная величина не уширенного (брейт-вигнеровского сечения)  $\sigma^m = \sigma(E_r)$  связаны соотношением

$$\frac{\sigma^{Dm}}{\sigma^m} = \frac{\sqrt{\pi}}{2} \cdot \frac{\Gamma}{\Delta} \approx 0,9 \frac{\Gamma}{\Delta}.$$

Для полуширины доплеровского сечения имеет место выражение

$$\Gamma_D = 2\Delta\sqrt{\ln 2}.$$

Но даже доплеровская форма  $\gamma$ -линии не видна в эксперименте. Форма наблюдаемой линии даётся функцией отклика спектрометра, которая также имеет гауссову зависимость с полушириной

$$\Gamma_{detector} \gg \Gamma_D \gg \Gamma.$$

Два способа компенсации отдачи ядра при работе с монохроматическими  $\gamma$ -источниками:

Схема ЯРФ-эксперимента с компенсацией отдачи ядра за счёт эффекта Доплера:

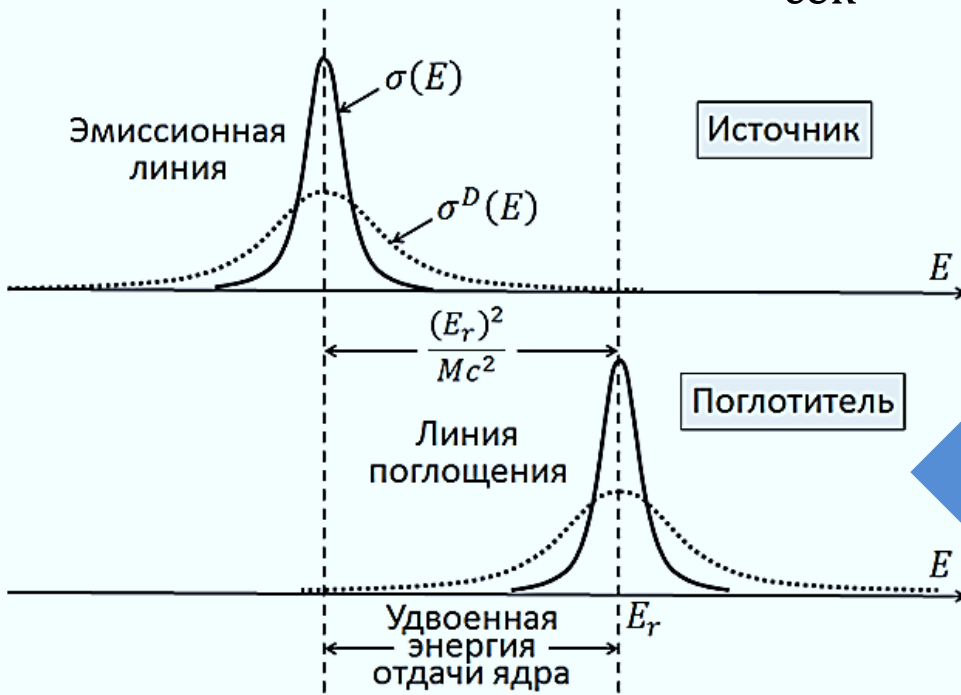
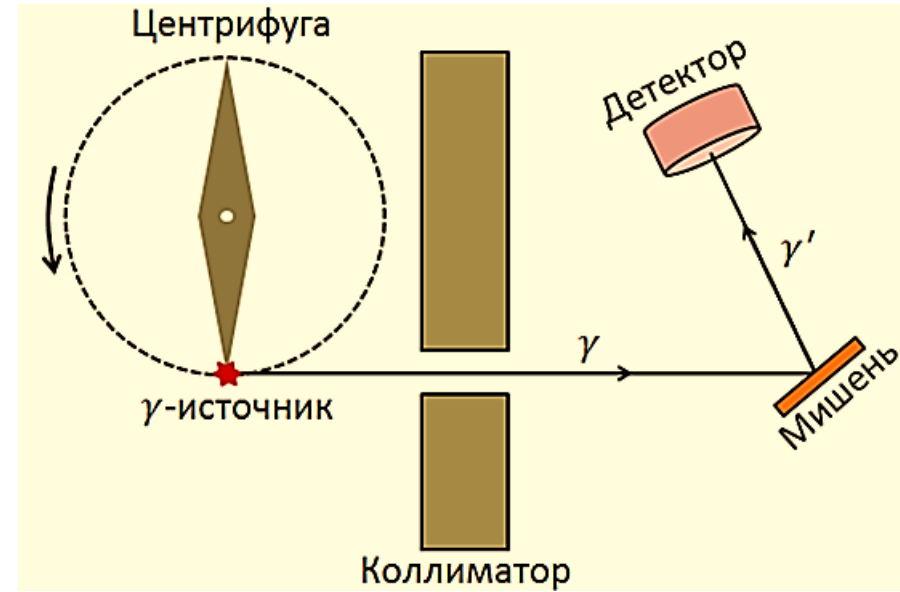
### 1) Центрифуга

$$E_{\text{я}} = \frac{Mv^2}{2} = \frac{E_{\gamma}^2}{2Mc^2} \approx \frac{E_r^2}{2Mc^2}$$

Для компенсации удвоенной энергии отдачи ядра необходима доплеровская скорость

$$v \approx \left( \frac{E_r}{Mc^2} \right) \cdot c$$

$$E_{\gamma} \leq 0,5 \text{ МэВ} \quad \text{и} \quad v \approx \text{сотни} \frac{\text{м}}{\text{сек}}$$



### 2) Нагревание источника

до  $1000^{\circ}\text{C}$  для  $E_{\gamma} \leq 0,5 \text{ МэВ}$

Реализации ЯРФ за счёт доплеровского уширения  $\gamma$ -линии. Эмиссионная линия  $\gamma$ -перехода с энергией  $E_r$  смещена к меньшим энергиям относительно линии поглощения за счёт двукратной отдачи ядра. Доплеровское уширение приводит к частичному перекрытию линий испускания и поглощения, т. е. к возможности ЯРФ.

## Связь радиационной ширины уровня с волновыми функциями начального и конечного ядра

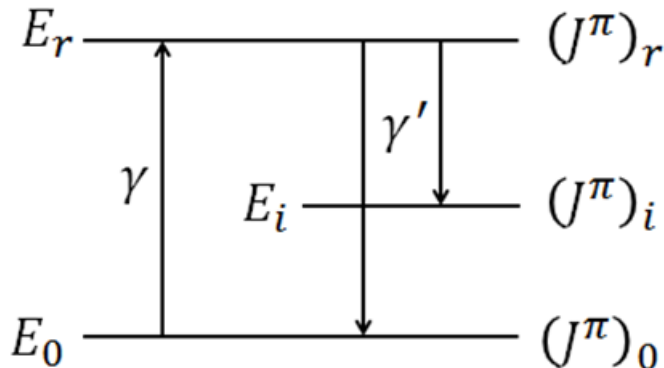


Схема ЯРФ с вариантом  $\gamma$ -перехода из возбужденного состояния ( $E_r$ ) в основное состояние – так называемая «чистая ЯРФ» ( $E_0 \rightarrow E_r \rightarrow E_0$ )

Для чистой ЯРФ ( $E_0 \rightarrow E_r \rightarrow E_0$ ) площадь под  $\gamma$ -линией обратного перехода даётся интегралом

$$\int_{\text{резонансу}}^{\text{по}} \sigma_0(E) dE = (\pi\lambda)^2 \frac{2J_r+1}{2J_0+1} \cdot \frac{\Gamma_0^2}{\Gamma}.$$

Если возбужденное состояние может распадаться только в основное состояние, то  $\Gamma = \Gamma_0$  и

$$\int_{\text{резонансу}}^{\text{по}} \sigma_0(E) dE = (\pi\lambda)^2 \frac{2J_r+1}{2J_0+1} \cdot \Gamma_0.$$

Таким образом, при известных спинах участвующих в ЯРФ состояний вероятность  $\gamma$ -перехода определяется только шириной  $\Gamma_0$ .

Как эта ширина связана с матричным элементом перехода  $\langle r|V|0\rangle$ , где  $|r\rangle$  и  $|0\rangle$  – волновые функции возбуждённого и основного состояний, а  $V$  – оператор электромагнитного перехода?

Этот оператор обозначается  $V_{JM}^E$  или  $M$ , имея в виду электрический (E) или магнитный (M) тип  $\gamma$ -перехода, а  $J$  и  $M$  – мультипольность  $\gamma$ -перехода и проекция углового момента перехода на выделенную ось.

Для системы  $A$  бесспиновых частиц с зарядами  $e_\alpha$  и массами  $m_\alpha$  имеет место соотношение

$$V_{JM}^E \text{ или } M = -\frac{1}{c} \sum_{\alpha=1}^A \frac{e_\alpha}{m_\alpha} \vec{A}_{JM}^E \text{ или } M \cdot \vec{p}_\alpha,$$

где  $\vec{A}_{JM}^E$  или  $M$  – векторный мультипольный потенциал соответствующего поглощённого (излучённого) фотона, а  $\vec{p}_\alpha$  – импульс частицы с индексом  $\alpha$ .

В длинноволновом приближении  $\lambda \gg R$  и  $V_{JM}^E$  или  $M$  допускает запись в виде функции, зависящей от координат частиц. Так оператор E1-перехода системы частиц, если не интересоваться проекцией углового момента перехода на выделенную ось, можно записать в виде вектора электрического дипольного момента этой системы

$$\vec{D} = \sum_{\alpha=1}^A e_\alpha \vec{r}_\alpha,$$

где  $e_\alpha$  и  $\vec{r}_\alpha$  – соответственно электрические заряды и радиусы-векторы частиц.

В общем случае (для любого  $J$  и его проекции  $M$  на выделенную ось  $z$ ) имеем в отсутствии спинов

$$V_{JM}^E = \sum_{\alpha} e_{\alpha} r_{\alpha}^J Y_{JM}(\theta_{\alpha}, \varphi_{\alpha}).$$

С учётом спиновых степеней свободы мультипольные операторы электрических и магнитных переходов системы частиц в длинноволновом приближении, обозначаемые  $\Omega_{JM}^E$  и  $\Omega_{JM}^M$ , имеют вид

$$\Omega_{JM}^E = \sum_{\alpha=1}^A [e_{\alpha} r_{\alpha}^J Y_{JM}(\vec{r}_{\alpha}) + \text{спиновая часть}],$$

$$\Omega_{JM}^M = \sum_{\alpha=1}^A \frac{e_{\alpha}}{2m_{\alpha}c} \left[ \frac{2\vec{l}_{\alpha}}{J+1} + g_s^{\alpha} \vec{s}_{\alpha} \right] \text{grad}_{\alpha} \left( r_{\alpha}^J Y_{JM}(\vec{r}_{\alpha}) \right).$$

Здесь  $m_{\alpha}$ ,  $\vec{l}_{\alpha}$ ,  $\vec{s}_{\alpha}$  – массы частиц, их орбитальные и спиновые моменты, а  $g_s^{\alpha}$  – гироманнитные спиновые факторы частиц (+5,585 для протонов и –3,826 для нейтронов)

Из вида оператора магнитного дипольного перехода можно получить выражение, совпадающее по форме с вектором магнитного дипольного момента системы частиц. Приведём это выражение в ядерных магнетонах ( $\mu_N = \frac{e_p \hbar}{2m_p c}$ )

$$\vec{M} = \sum_{\alpha=1}^A (g_l^\alpha \vec{l}_\alpha + g_s^\alpha \vec{s}_\alpha).$$

Вероятность перехода ядра в единицу времени из начального состояния  $|i\rangle$  в конечное  $|f\rangle$  с испусканием фотона электрического или магнитного типа с энергией  $E_\gamma$ , угловым моментом (мультипольностью)  $J$  и проекцией  $M$  имеет вид

$$W_{JM}^{E \text{ или } M} = \frac{1}{\hbar} \Gamma_{JM}^{E \text{ или } M} = \frac{8\pi(J+1)}{J[(2J+1)!!]^2} \cdot \frac{1}{\hbar} \left(\frac{E_\gamma}{\hbar c}\right)^{2J+1} |\langle f | \Omega_{JM}^{E \text{ или } M} | i \rangle|^2,$$

где  $\Gamma_{JM}^{E \text{ или } M}$  — ширина соответствующего перехода,

$$\text{а } (2J + 1)!! = 1 \cdot 3 \cdot 5 \cdot \dots \cdot (2J + 1).$$

Обычно не конкретизируется ориентация ядра (его поляризация) в начальном и конечном состояниях. В этом случае при вычислении вероятности перехода необходимо суммировать по проекциям  $M_f$  спина  $J_f$  ядра на выделенную ось в конечном состоянии и усреднить по проекциям  $M_i$  спина ядра  $J_i$  в начальном состоянии. При осуществлении этой операции используют понятие

***приведённой вероятности перехода:***

$$B_J^{E \text{ или } M} = \frac{1}{2J_i + 1} \sum_{M_i, M_f} |\langle J_f | \Omega_{JM}^{E \text{ или } M} | J_i \rangle|^2.$$

С учётом двух последних выражений для ширины  $\gamma$ -распада можно записать

$$\Gamma_J^{\text{E или M}} = \frac{8\pi(J+1)}{J[(2J+1)!!]^2} \left(\frac{E_\gamma}{\hbar c}\right)^{2J+1} B_J^{\text{E или M}}.$$

При этом ширина  $\Gamma_0$  распада из исследуемого резонансного состояния  $|r\rangle$  в основное  $|0\rangle$ , формируемая в общем случае набором электрических и магнитных  $\gamma$ -переходов различной мультипольности, даётся выражением

$$\Gamma_0 = \sum_J \frac{8\pi(J+1)}{J[(2J+1)!!]^2} \left(\frac{E_\gamma}{\hbar c}\right)^{2J+1} (B_J^{\text{E}} + B_J^{\text{M}}).$$

Ситуация на первый взгляд сильно осложнена возможным участием в формировании  $\Gamma_0$  переходов различного типа и мультипольности. Однако, число этих переходов обычно не превышает двух. Более того, в большинстве случаев в экспериментах с мишенями из стабильных ядер возможен лишь один переход (одного типа и одной мультипольности). Действительно, 2/3 стабильных ядер чётно-чётные, т. е. для них  $J_0^\pi = 0^+$ . Это означает, что в этом случае переходы  $0 \rightarrow r \rightarrow 0$  (чистая ЯРФ) возможны лишь под действием либо только электрического, либо только магнитного фотона одной мультипольности. При этом для  $\Gamma_0$  имеет место выражение без суммирования по  $J$ :

$$\Gamma_0 = \frac{8\pi(J+1)}{J[(2J+1)!!]^2} \left(\frac{E_\gamma}{\hbar c}\right)^{2J+1} B_J^{\text{E или M}}.$$

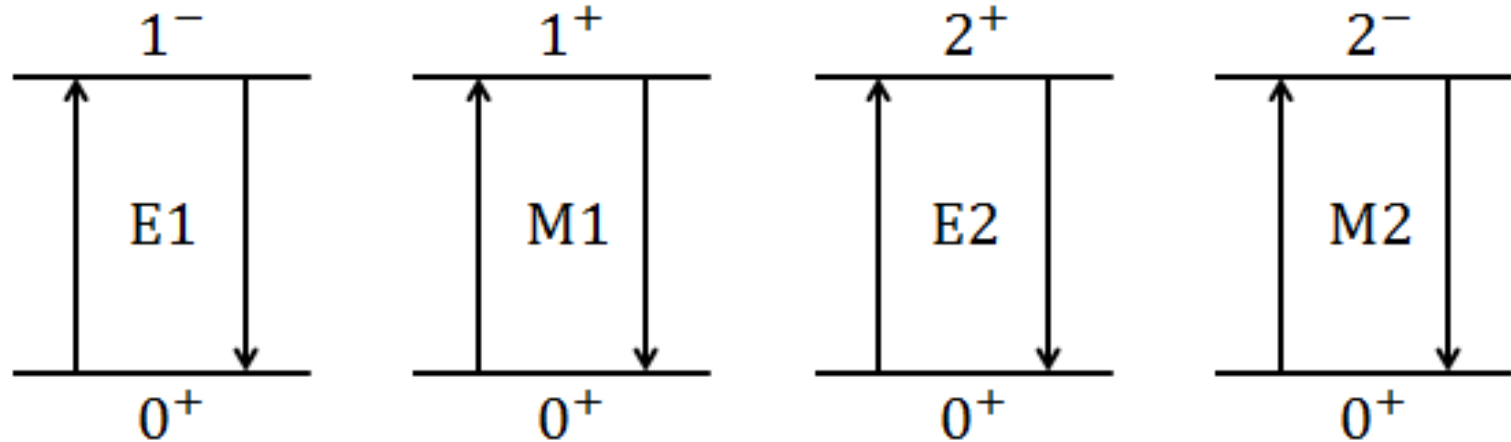
В этом случае из экспериментально найденных  $\Gamma_0$ , при известных  $J_0$  и  $J_r$ , однозначно определяется величина приведенной вероятности перехода

$$B_J^E \text{ или } B_J^M, \text{ а значит и матричный элемент } \langle r | \Omega_{JM}^E \text{ или } M | 0 \rangle.$$

Поскольку  $\Omega_{JM}^E \text{ или } M$  известны, а волновые функции  $|0\rangle$  основных состояний стабильных чётно-чётных ядер в большинстве случаев достаточно хорошо известны, то знание  $\Gamma_0$  непосредственно приводит к информации о структуре волновых функций возбуждаемых состояний  $|r\rangle$ .

Аналогичная ситуация возникает и в том случае, когда при  $J_0 \neq 0$  нулевым оказывается спин возбужденного состояния ядра.

Приведём наиболее распространённые низколежащие электромагнитные переходы чётно-чётных ядер:



Если  $J_0 \neq 0$  и  $J_r \neq 0$ , то правила отбора допускают возможность поглощения фотонов обоих типов и нескольких мультипольностей, т. е. имеет место смесь переходов. Но при  $\lambda \gg R$  можно и в этом случае выделить два основных перехода – самый интенсивный электрический и самый интенсивный магнитный. При этом, как правило, мы будем иметь дело либо с E1, либо с E2-переходом, либо с парами сравнимых по интенсивности переходов типа M1 + E2, M2 + E3 и так далее.

